

大成建設㈱ 正員 ○福井 智  
岡山大学工学部 正員 竹宮宏和

## 1. まえがき

著者らは、サブストラクチャ法を根幹とした地盤と構造物の3次元動的耐震解析システムSUBSSIP-A3D<sup>1)</sup>の開発を進めて来ている。同解析システムでは、上部構造物には一般3次元マトリックス解析法を適用し、地盤-基礎の下部構造系には軸対称モデル化により、応答をフーリエ級数に展開している。そして、上下部構造の連成系を両系のインターフェイスにおける連続性より形成している。今回、同インターフェイス節点の自由度を、フーリエ級数展開項に  $n = 0, 1$  を採り、これまでの4自由度から6自由度に拡張し、下部構造系の上下振動、ねじれ振動をも考慮できるようにした。その結果、入力条件も基盤面において、直交3成分を同時入力できる。

## 2. 定式化

下部構造系と上部構造物の運動方程式は、質量、減衰、剛性マトリックス  $[M]$ 、 $[C]$ 、 $[K]$  を用い、一般に、

$$[M]_{\text{sub}} \{\ddot{x}\}_{\text{sub}} + [C]_{\text{sub}} \{\dot{x}\}_{\text{sub}} + [K]_{\text{sub}} \{x\}_{\text{sub}} = \{P\}_{\text{sub}} \quad (1); \quad [M]_{\text{sup}} \{\ddot{x}\}_{\text{sup}} + [C]_{\text{sup}} \{\dot{x}\}_{\text{sup}} + [K]_{\text{sup}} \{x\}_{\text{sup}} = \{P\}_{\text{sup}} \quad (2)$$

と表される。下部構造系は軸対称モデルとし、フーリエ級数展開を用い、変位を次式で表す。

$$\{x\}_{\text{sub}} = \sum_{n=0}^1 ([H_n^S] \{X_n^S\} + [H_n^A] \{X_n^A\}) \quad (3)$$

ただし、 $\{X_n^S\}$  はフーリエ振幅で、肩字  $S$  は対称、 $A$  は逆対称モード、 $n$  はフーリエモード次数を表し、また、 $[H_n^S, A]$  は周方向への展開を示す。

$$[H_n^S] = \text{diag.}(\cos n\theta, -\sin n\theta, \cos n\theta) \quad ; \quad [H_n^A] = \text{diag.}(\sin n\theta, \cos n\theta, \sin n\theta) \quad (4)$$

である。ここで、 $n = 1$  の対称、逆対称フーリエ展開項は、それぞれ面内、面外の水平並進と回転の連成運動を、 $n = 0$  の対称、逆対称フーリエ展開項は、それぞれ鉛直運動、ねじれ運動を表す。また、 $n = 1$  では基盤面水平入力、 $n = 0$  では基盤面鉛直入力できる。

地盤インピーダンス法: 式(1)を振動数領域に直し、縮合操作を施すと、次式が得られる。

$$[K_f] \{x_f\} = \{P_f\} + \{P_f^0\} \quad (5)$$

$[K_f]$  は下部構造系インピーダンス、 $\{P_f^0\}$  は有効入力、 $\{P_f\}$  は上部構造からの断面力、添字  $f$  は上下部の接触節点を示す。式(2)を固有モード分解し、モード座標で表した式と、式(5)のインピーダンス要素との連成系を同式の有効入力のもとで解く。

部分モード法: 式(1)と式(2)を連成させ、接触節点での変位の適合条件、平衡条件より、

$$[M]_{\text{comp}} \{\ddot{x}\}_{\text{comp}} + [C]_{\text{comp}} \{\dot{x}\}_{\text{comp}} + [K]_{\text{comp}} \{x\}_{\text{comp}} = \{P\}_{\text{comp}} \quad (6)$$

が得られる。上式において、次の変位変換式を用いると、全体系の運動方程式(6)は上下部構造系のそれぞれの固有モード座標で表される。

$$\{x\}_{\text{comp}} = \begin{bmatrix} x_s \\ x_f \\ x_g \end{bmatrix} = \begin{bmatrix} \Phi_{\text{sup}} & \beta_{\text{sup}} \Phi_{\text{sub}}^T \\ 0 & I \end{bmatrix} \begin{bmatrix} q_{\text{sup}} \\ q_{\text{sub}} \end{bmatrix} + \begin{bmatrix} \beta_{\text{sup}}^T \\ \beta_{\text{sub}} \end{bmatrix} X_r \quad (7)$$

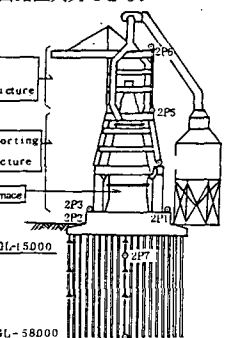


図1 解析対象構造物

添字  $s$  : 上部構造物の節点

$f$  : 上下部の接触節点

$g$  : 下部構造系の節点

ただし、 $\Phi_{\text{sup}}$  は上部構造物の拘束モード、 $\Phi_{\text{sub}}$  は下部構造系の自由モード、 $\beta_{\text{sup}}$  は接触節点による上部構造物の変位影響マトリックス、 $\beta_{\text{sub}}$  は基盤面による下部構造系の変位影響マトリックス、 $q_{\text{sup}}, q_{\text{sub}}$  はそれぞれ  $\Phi_{\text{sup}}, \Phi_{\text{sub}}$  に対応するモード座標を表す。また  $X_r$  は基盤面変位を示す。本研究では、式(7)中のモード座標を全体系で固有モード分解する総合モード法も考慮した。

### 3. 数値解析例及び考察

解析対象構造物は大型高炉(図1)を採り、同構造物の地盤との連成を把握するため、基盤面入力による伝達関数を図2、3に示した。低振動数領域では、手法による違いは見られない。また、この構造物は、X方向よりY方向にフレキシビリティであることが判る。また、実際の入力地震波(1978.6.川奈崎沖地震)でシミュレーションを行った。観測記録と、部分モード法による計算値のフーリエスペクトルをそれぞれ図4、5に示した。両者に違いが見られるが、モデル化等における不確定要素が原因と考えられる。これらの影響を考えた上で、一応工学的な精度を得られたと思われる。

#### <参考文献>

- 1)竹宮、福井：部分モード法による地盤-基礎-上部構造物系の3次元地震応答解析、土木学会論文集
- 2)竹宮、正木、魚谷：動的サブストラクチャ法による地盤-基礎-上部構造物系の擬似3次元地震応答解析、第38回年次学術講演会(I), 1985年9月
- 3)竹宮、魚谷、福井：部分モード法による地盤-基礎-上部構造物の擬似3次元地震応答解析、第39回年次学術講演会(I), 1984年10月

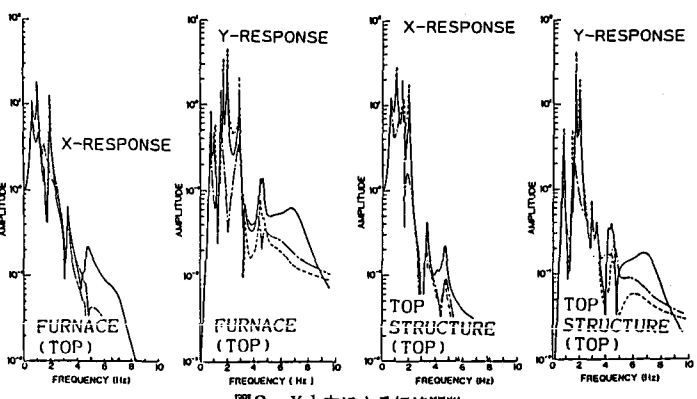


図2 X入力による伝達関数

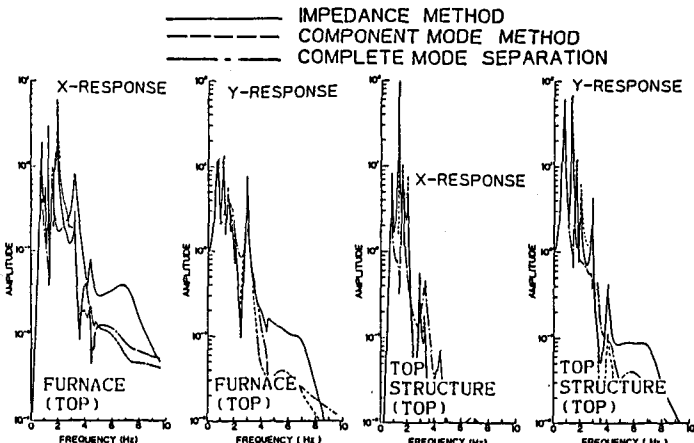


図3 Y入力による伝達関数

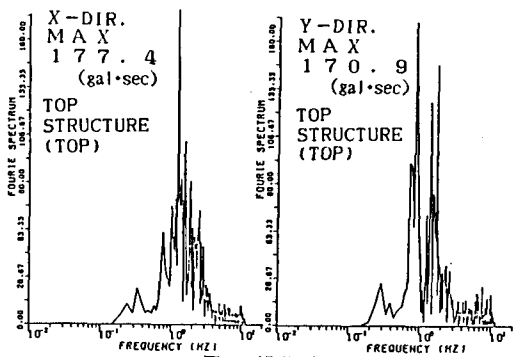
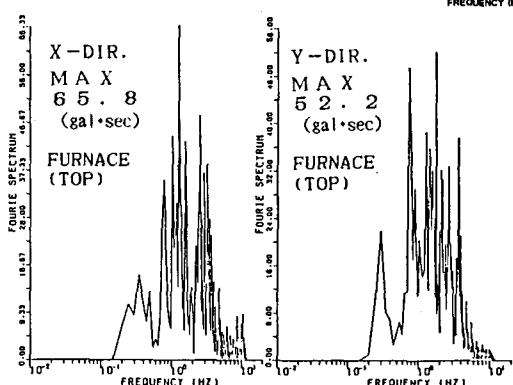


図4 観測記録

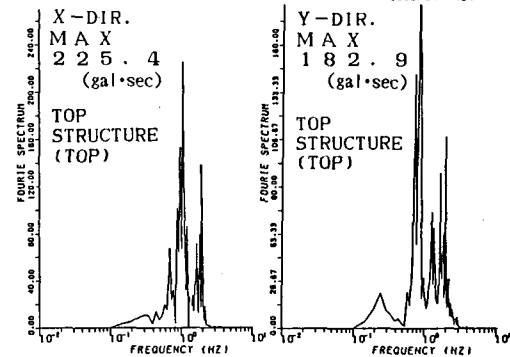
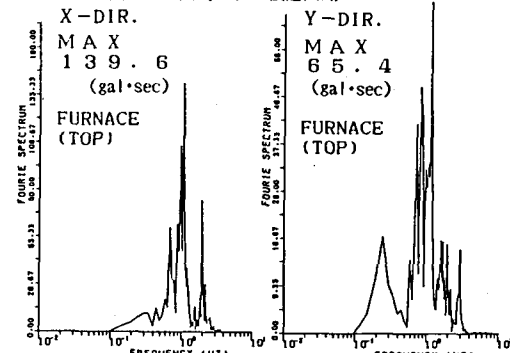


図5 計算結果(C.M.M.)